肩義手のための RC サーボコントローラーAGB65-RSC を 用いた感圧センサーの開発

木下 敏治* 三好 敦士** 西原 大樹***

Development of the Pressure-Sensitive Sensor using RC Servo Controller AGB65-RSC for SDP (shoulder disarticulation prosthesis)

Toshiharu KINOSHITA, Atsushi MIYOSHI and Daiki NISHIHARA

Synopsis

The purpose of this research is improvement of the hand for Shoulder Disarticulation Prosthesis (SDP) with 6 degrees of freedom developed 2007 year at our college. Concretely, it is making the movement of human hand and measuring pressure of the holding objects by the automatic operation. The control board is RC servo controller AGB65-RSC and sensor unit is AGB65-4FS. For making the control program used "Visual C #2005". Operation of the hand by one RC servo motor and the measurement value of the pressure-sensitive sensor were able to be displayed. The artificial hand with one RC servo motor can move like a human hand.

1. まえがき

厚生労働省の「身体障害児・者等実態調査」 によると、平成13年度の18歳以上の身体障害 者数は324万5千人で、そのうち肢体不自由者 数は174万9千人と全体の53.9[%]となっている。

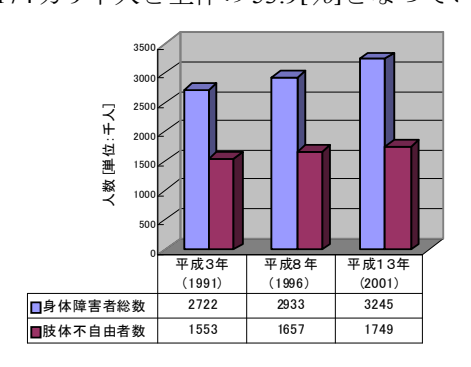


図1. 身体障害者(18歳以上)の全国推計数

図 1 がそのグラフである。この肢体不自由者数 は平成3年度の調査では155万3千人,平成8 年度の調査では165万7千人,平成13年度の調 査では174万9千人と,毎年増加の傾向にある。 それに対して義手や義足の開発は遅れている。 特に義手は上腕 1)・前腕・手関節・手指など切 断部位によって種類も変わり, 義足に比べて使 用目的が多く, 高度な制御を必要とし研究開発 が難しいとされている。このため日本では、普 及している義手の 9 割が装飾義手と呼ばれる外 観の復元を重視した、動かない義手であり、動 力義手の普及率は低い。そして動力義手の中で も特に、肩から指までの駆動を行う肩義手につ いては実用化の例は TDU 全腕義手 (東京電機大 学 斎藤教授) ²⁾や, ユタアーム (米 ユタ大学) などしかなく、ほとんど実用化されていない3)。 その理由として上腕から手先まで制御するのは 自由度がとても多く難しい, 実際の腕の重さに 対して義手の重量が重すぎる, 価格が高い, 操 作性が悪く装着してからの使用訓練が非常に困 難である,機能が少なく不便である,などの問

^{*} 電子工学科

^{**} 和歌山大学工学部光メカトロニクス学科

^{***} フジケンエンジニアリング

題が考えられる。これらの点を解決することを 最大の目標として義手の手先具の研究・開発を 行った。前腕義手の研究の進歩現状は参考文献 4 ~20 に示す。

2. 研究の概要

軽量で安価な義手の作成を目標に,2006年度の卒業研究生が製作した6自由度肩義手をもとにした顔面方位制御システム²¹⁾²²⁾の開発のための高性能な手先具の開発を目標とした。2006年度の手先具はサーボモーターによる簡単な開閉動作によって物体保持をさせるものであった。また,その形状も人間の手先とはかけ離れた外観であった。2007年度の研究目標としては、

- ・人の手先に似た構造にする
- ・軽量化を試みる
- ・センサーでモーターの動きを制御する の3点である。

バイオメタルファイバーを用いた 5 自由度の義 手の手先具の研究については参考文献 23 に詳 しく説明してある。

アクチュエータには軽量で高出力な RC サーボ モーターKRS-4014HV Red Version (近藤科学製) を使用し,新たに手先具を製作した。制御基板 には RC サーボコントローラーAGB65-RSC 24 , センサーユニットには AGB65-4FS (浅草ギ研 製)を用いた。通信速度は両方ともに、115kbps にも対応しているが, 今回は通常設定値の 9600bps で使用した。制御ソフトについては Visual C# 2005²⁵⁾ を用いて作成した。これは、 自由に機能や操作画面をつくることができ,シ リアル通信の記述が容易にできるためである。 構成部品には主に、カーボンファイバーという 軽量で丈夫な素材を使用した。構造上,強度が 求められる部分にはアルミプレートを用いた。 製作した手先具に感圧サンサーを取り付け、物 体を持たせたときの圧力値を表示させ,物体 個々のデータをとる。また, 適正保持ができる ようにプログラミングを行うことである。

3. センサー系の構成

2007 年度の研究では感圧センサーAGB65-4FS の他にサーボモーターを使用するので、AGB65-RSC を接続した。2007 年度新たに使用

した感圧センサーAGB65-4FS を図 2 に示す。これは、1 つのセンサーユニットにつき、4 個までの圧力測定部を接続することができる。AGB65-RSC については、参考文献 24 に詳しく記述してある。また、実際の構成は図 3 のような配線となっている。感圧センサー用電源、モーター制御基盤用電源、モーター動作用電源、の計 3 つの電源を必要としている。



図 2. 感圧センサーAGB65-4FS

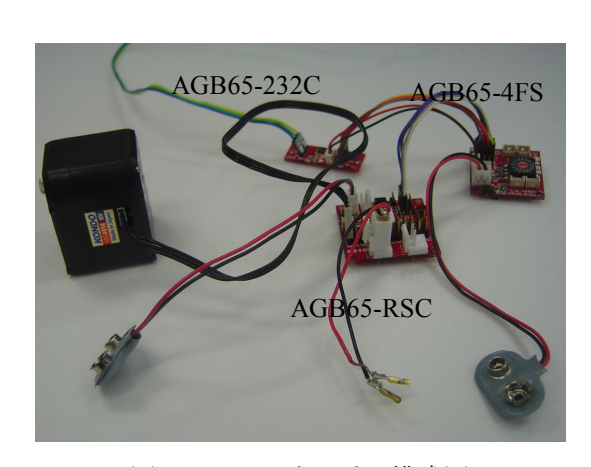


図3. センサー系の構成図

4. プログラム

この手先具系の動作に当たってのプログラミングの方法を具体的に示す。

- ・ 感圧センサーの表示プログラムの作成
- リアルタイムでセンサーを表示させるプログラムに書き換える
- ・モーター動作のプログラムを追加

4.1 感圧センサーの表示

感圧センサーの値を表示するプログラムによって作成したフォームを図4に示す。

詫間電波工業高等専門学校研究紀要 第 37 号 (2009)

プログラムの動作方法 (Visual C# 2005 を用いた動作 プログラム名:自動機構)

- 1. Visual C #2005 を起動し, 任意のプログラム を選択する。
- 2. [F6]でエラーチェックして[ctrl + F5]でビル ドする。
- 電源を AGB65-RSC×2 , AGB65-4FS に接続する。線が別々に別れているので A LINCO (電源) の装置を使う場合は後ろ側の端子にそれぞれ接続する。
- モーター1 個の駆動しか記述していないので、AGB65-RSC の[p0]にモーターからの配線を接続する。
- 5. [モーターの位置], [モーターの速度]など の項目を任意の値に変更していく。
- **6.** [駆動], [初期位置], などのボタンを押して動かせる。

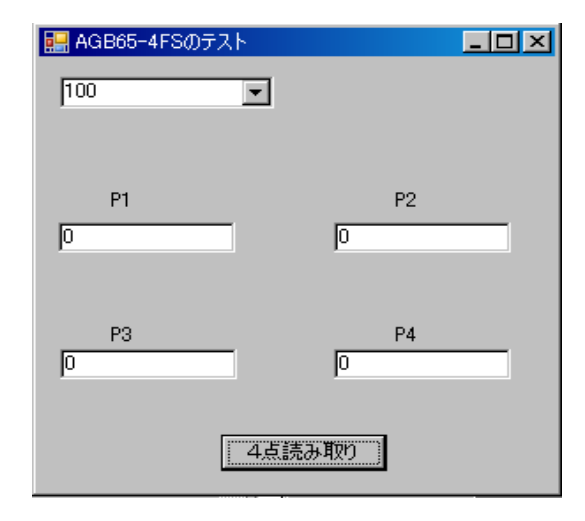


図 4. センサー値表示フォーム

この作成したプログラムは、図 4 の下に位置 している"4 点読み取り"ボタンを押すことによ って 4 つのセンサーの値を表示させることがで きる。

次に、ボタンを押すことなしにセンサーの値 を表示させるプログラムの作成について記載す る。

<センサー値表示プログラム>

using System;

```
using System.Collections.Generic;
using System.ComponentModel;
using System.Data;
using System.Drawing;
using System. Text;
using System. Windows. Forms;
namespace WindowsApplication1
    public partial class Form1: Form
         private byte[] sendData;
         public Form1()
              InitializeComponent();
              serialPort1.PortName = "COM1";
              serialPort1.BaudRate = 9600;
              serialPort1.Open();
         }
         private void readButton Click(object
                              sender, EventArgs e)
              sendData = new byte[4];
              sendData[0] = 255;
              sendData[1] = Convert.ToByte(id
2.Text);
              sendData[2] = 1;
              sendData[3] = 30;
              serialPort1.Write(sendData, 0, 4);
    }
}
```

4.2 感圧センサーのリアルタイム表示

先に記載した感圧センサーの表示プログラムに Visual C# の機能の1つである, "Tim er"という機能を使うことによってボタンを押すことなしにセンサー値を表示させるプログラムを作成した。

そのプログラムによって作成したフォームを図 5に示す。

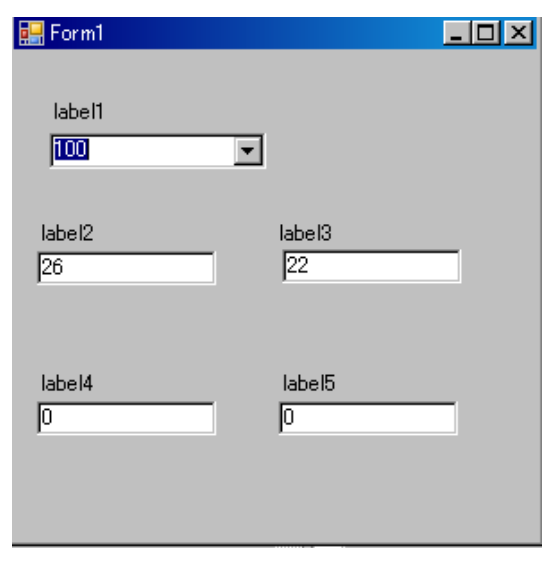


図 5. リアルタイム表示フォーム

<リアルタイム表示プログラム>

```
using System;
using System.Collections.Generic;
using System.ComponentModel;
using System.Data;
using System.Drawing;
using System. Text;
using System. Windows. Forms;
namespace WindowsApplication1
    public partial class Form1: Form
         private byte[] sendData;
         private byte[] rcvData;
         private byte[] result;
         static private byte gx = 0;
         static private byte gy = 0;
         static private byte gz = 0;
         static private byte gp = 0;
         public Form1()
              InitializeComponent();
              serialPort1.PortName = "com1";
              serialPort1.BaudRate = 9600;
              serialPort1.Open();
              timer1.Interval = 100;
              timer1.Enabled = true;
```

```
timer1.Start();
          }
 private void timer1 Tick(object sender, Event Args
          {
               sendData = new byte[4];
               sendData[0] = 255;
               sendData[1] = Convert.ToByte(I
d.Text);
               sendData[2] = 1;
               sendData[3] = 30;
               serialPort1.Write(sendData, 0, 4);
          }
private void serialPort1_DataReceived(object se
nder, System. IO. Ports. Serial Data Received Event Args\\
e)
    {
        rcvData = new byte[1];
        int 1 = 0;
        serialPort1.Read(rcvData, 0, 1);
        if(revData[0] == 255)
          serialPort1.Read(rcvData, 0, 1);
          if (rcvData[0] == (Convert.ToByte(I
d.Text)))
                serialPort1.Read(rcvData, 0, 1);
                1 = revData[0];
                result = new byte[l];
                for (int i = 0; i < l; i++)
               while (serialPort1.ReadBufferSize ==
0);
                    serialPort1.Read(result, i, 1);
                     }
                              gx = result[1];
                              gy = result[2];
                              gz = result[3];
                              gp = result[4];
                              p1.Text = gx.ToStr
ing();
                              p2.Text = gy.ToStr
ing();
```

詫間電波工業高等専門学校研究紀要 第 37 号 (2009)

```
p3.Text = gz.ToStr
ing();

p4.Text = gp.ToStr
ing();
}

}
}
}
```

4.3 モーターの動作を追加

RC サーボモーターを駆動させるプログラムを今まで作成したプログラムに加えて記述する。

<サーボモーター駆動プログラムの追加>

```
private void runButton Click(object sender, ve
ntArgs e)
  {
                sendData = new byte[7];
               sendData[0] = 255;
               sendData[1] = Convert.ToByte(I
d.Text);
               sendData[2] = 4;
               sendData[3] = 2;
               sendData[4] = Convert.ToByte(s)
N.Text);
               sendData[5] = Convert.ToByte(s
P.Text);
               sendData[6] = Convert.ToByte(s)
S.Text);
               serialPort1.Write(sendData, 0, 7);
    }
```

上記のプログラムを追加することによってモーターの駆動を制御できるようになった。図 6 に現段階でのフォームを示す。

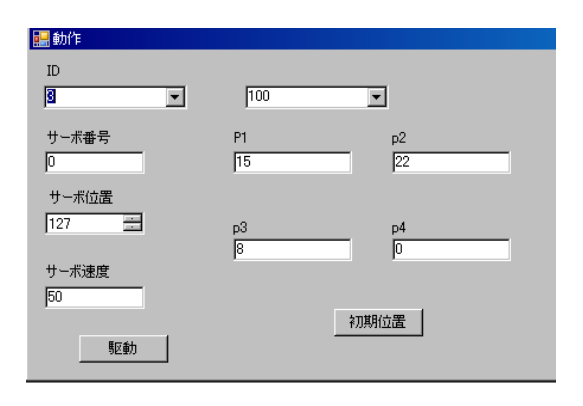


図 6. モーター駆動を追加したフォーム

※モーターを初期位置(127)に戻すボタンを追加 している。

5. 動作実験

本格的に手先具に取り付ける前に感圧センサーAGB65-4FS の印加荷重による表示値を測定した。これは,浅草ギ研から提供されている記述には,測定 10N(約 1kgf),破壊荷重 45N(約 4.6kgf),最低測定荷重が約 200g と記載されているが,それ以上の荷重がかかったとき,どのような値を示すのかを知ることが必要であったので,図 7 のように重量によるセンサー値を測定した。実際の人間の手による保持時の荷重は,2Kg 付近と仮定した。上記のように,測定開始荷重は約 200g とされているが,今回の測定では約 300g~ 380gの間に $0\rightarrow 1$ ~とセンサーが反応しだした。これは,圧力測定部分が小さい球形をしているため,力のかかり方に偏りが出てしまったためだと思われる。

重量によるセンサー値 8bit

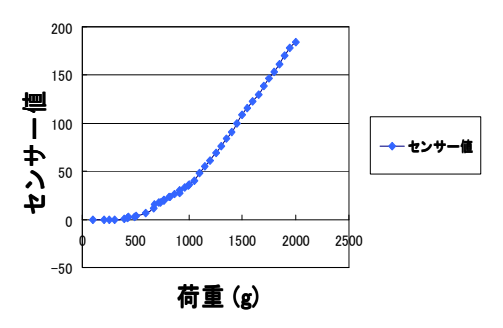


図 7. 重量によるセンサー値 (※1000g 以降は 50g ごと)

6. 手先具の作成

6.1 手先具 1 号機

上記のように感圧センサーを動作させることに成功したので、次に簡単な構造の手先具に取り付けて動作させた。作成した手先具を図 8 に示す。

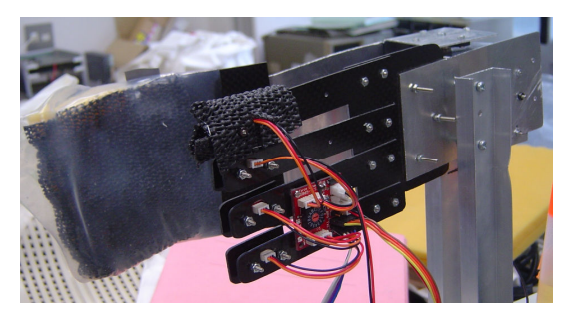


図 8. 手先具 1 号機

図 8 の手先具を使って、重さがそれぞれ 10 0g,150g,200g のペットボトルを保持したときのモーターの位置によるセンサー値の特性のグラフである。モーターの位置とは、初期位置を 127 として、1 度ずつ角度を減らせていったときの位置のことである。それぞれのセンサーを

P1 → 人差し指

P2 → 中指

P3 → 薬指

P4 → 小指

(それぞれ第1間接部)に取り付けた。

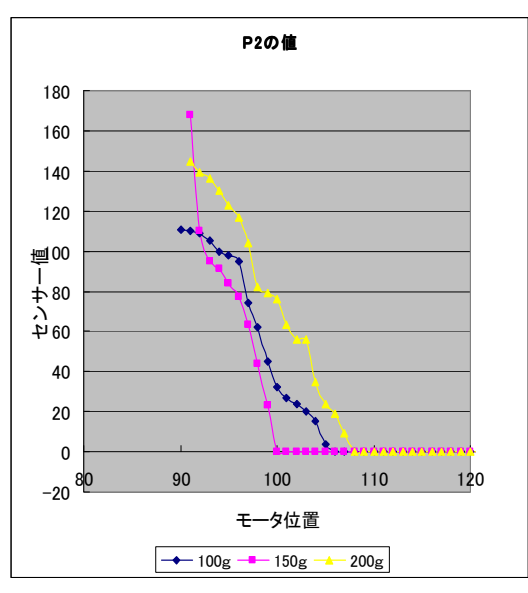


図 9. P2 (中指) の変化

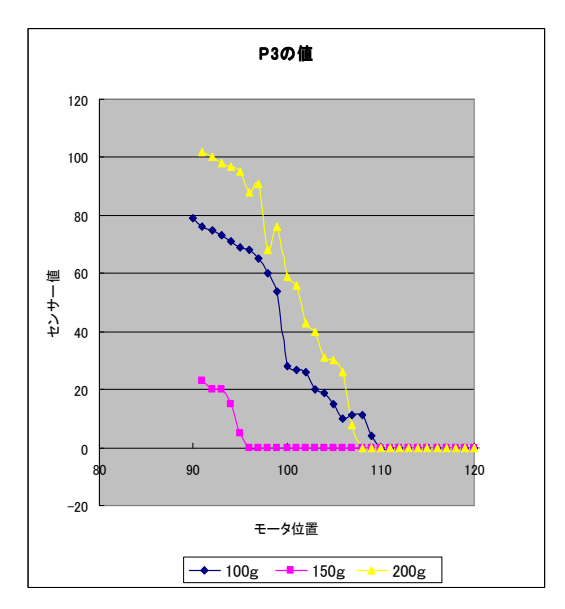


図 10. P3 (薬指)の変化

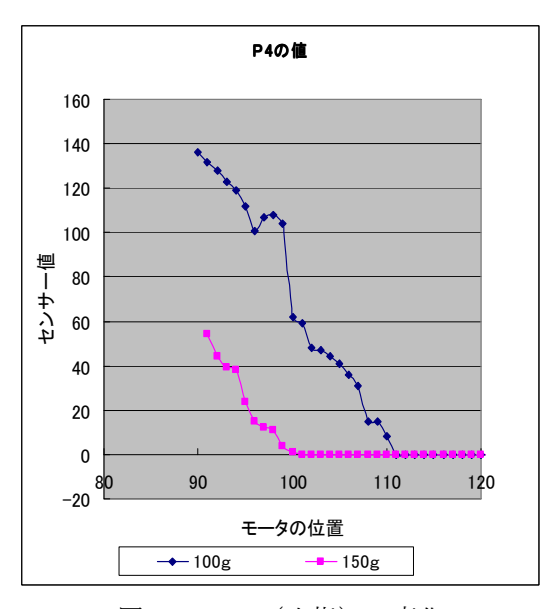


図 11. P4 (小指) の変化

測定終了のモーター位置は、センサー部やモーター部への負荷を考え、90とした。図9は人差し指に装着したP1のみ反応しなかった。重量が重くなるほどセンサー測定開始位置が早くなる、または遅くなる、のどちらかを想定していた。しかし、センサーの感度の問題か、物体保持の方法が悪かったのかは不明だが、物体の重量とセンサー測定開始位置との関係性は見出せなかった。図10も同様に関係性は見出せなかった。図11については200gのペットボトルを保持した際にはP4が反応しなかったので100g,150g,のみのグラフとなっている。この測定

では、瞬間で表示値が変化するため、±2程度の 誤差を含んでいる、また、12bitでの表示モード では、±5~10程度の瞬間的な表示値変化が起こ ることがわかった。この測定では、センサー値 からかなり大きな圧力がセンサーにかかってい ることがわかる。よって、その圧力を小さくす るため、手先具の構造を考え直す必要がある。

6.2 手先具 2 号機

上記のような問題点が明らかになったが、解決法はセンサー部分に圧力を加える部分にあることがわかったので、つぎの手先具の作成に入る。手先具2号機は、3本の指をもつ手先具とした。手先は、単純な開閉動作のみではなく、指の曲げ、そして伸ばしができるような構造にした。その実現のために、2005年度卒業研究生である菅 直人君の研究で使用された指の機構23)を参考にした。その構造については図12に示すとおりである。



図 12. 構造(平常時)

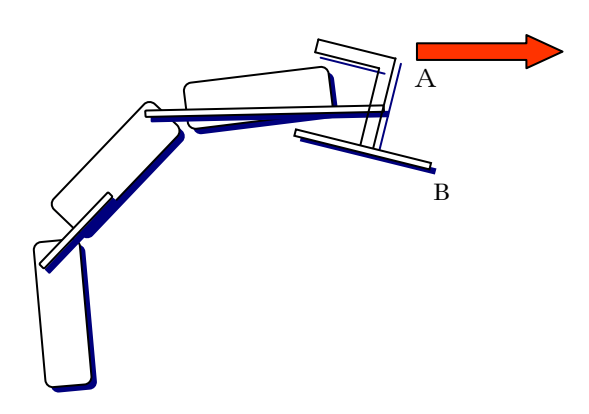


図 13. 構造(力を加え曲げるとき)

上記の構造より図13のようにA点に力を加えることによって指先を曲げることができる。また、指先を伸ばそうとするときは、B点に矢印と同じような力を加えることによって伸ばすことができる。この構造は、単純、かつ軽量な指先を実現できると考えられる。図14に作成した指先を示す。



図 14. 作成した指先

また、今までに木下研究室で作成された手先具は 6 自由度、つまり手首の曲げの動作が実現されていなかったので、手首の曲げ動作ができる手先具を作成した。しかし、それに伴い前腕の回旋(05)が制御できない構造となってしまった。



図 15. 手先部分(側面)



図 16. 手先部分(前面)

モーターを固定するために高い強度が求められる部分にはアルミプレートを使用した。図 13 のような力を加えるのに、サーボモーターを使用し、ワイヤーで巻き取ることによって指先を曲げる動きをさせた。また、指先を伸ばすときに

は、モーターを逆回転させもう一方のワイヤーを巻き取るようにしている。表面には滑り止めをつけている。次に、手首部分を加えた手先具2号機の構成図を図17に示す。



図 17. 手先具 2 号機

手先具 2 号機は、人間の指先の動きに似せようとしたが、指の曲げ、伸ばしの両方にワイヤーを用いているため、工作精度のばらつきもあって動きがスムーズでなく、満足のいく動きをしなかった。このため、感圧センサーと高性能な手先具をあわせる手先具 3 号機には、菅君の指先の構造を使用することを断念し、ワイヤーによる単純な開閉動作のみの手先具を作成することとした。

6.3 手先具 3 号機

手先具3 号機では作成したプログラムと新たな手先具をあわせて、2006 年度の卒業研究生の作成した6 自由度肩義手の手先に取り付けることを目標として作成した。そのため、構造の改良だけでなく、軽量化も重要となった。人の手先に似た構造にするため、指は5 本あることが望ましいと考えた。しかし、パーツの増加に伴って手先具自体の重量も増加してしまうため、モーターを固定する部分以外は、極力重量の軽いカーボンファイバーを使用することを念頭において設計を始めた。また、手先具2号機では指先の曲げ、伸ばしともにワイヤーを使用していたが、今回は指先の曲げにはワイヤーを使い、

伸ばしにはバネを使用した。バネを使用することによって構造の簡単化と軽量化を実現できるはずである。図18に手先具3号機の寸法を示す。

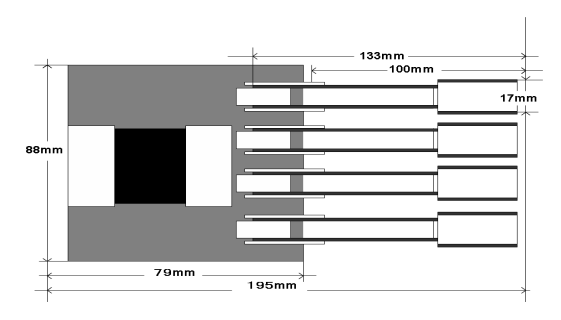


図 18. 手先具 3 号機の寸法

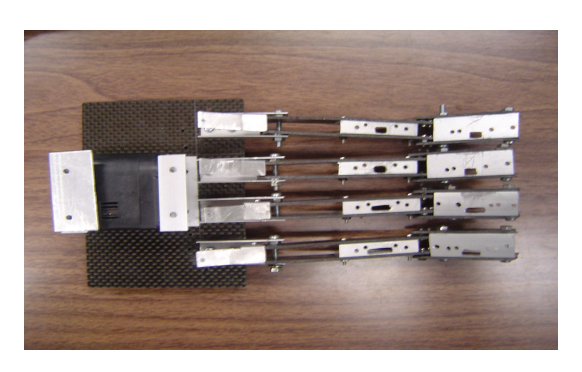
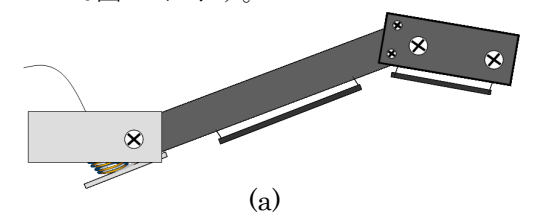


図19. 手先具3号機(手のひら部分)



図 20. 手先具 3 号機(側面)

図 19 のそれぞれの指に計 2 つの感圧センサー装着のためのアルミパーツをカーボンファイバーの間に固定している。次に、指の開閉の仕組みについて図 21 に示す。



詫間電波工業高等専門学校研究紀要 第 37 号 (2009)

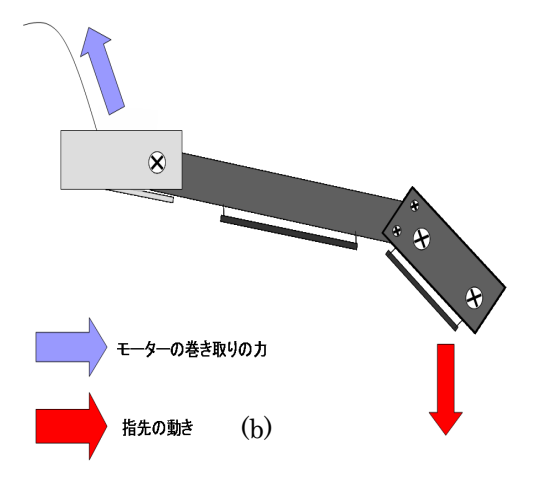


図 21. 指の開閉の仕組み 1

図 21(a)のときには、ワイヤーはゆるい状態になっているので、バネによって指先が開く仕組みになっている。また反対に、(b)のときには、モーターによってワイヤーを巻き取ることによって、バネを縮めさせ、指先を閉じる仕組みになっている。

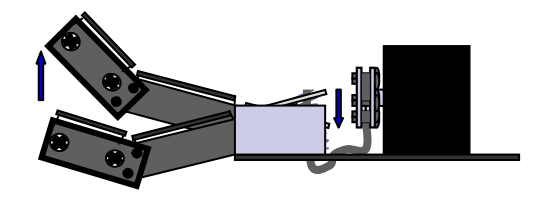


図 22. 指の開閉の仕組み 2

5本の指を同時に開閉するため、モーター自体に 大きな負荷がかかってしまう可能性があるが、 人間の構造に似たものにするため、あらかじめ 考慮に入れている。

図 23~27 に感圧センサーを装着した手先具 3 号機を示す。



図23. 感圧センサーを接続した手先具3号機

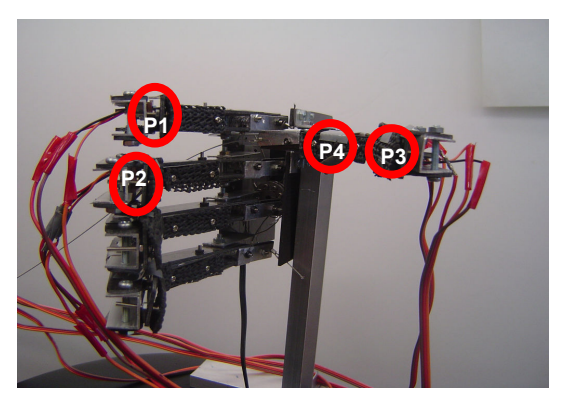


図 24. 指先を開いた様子



図 25. 指先の様子

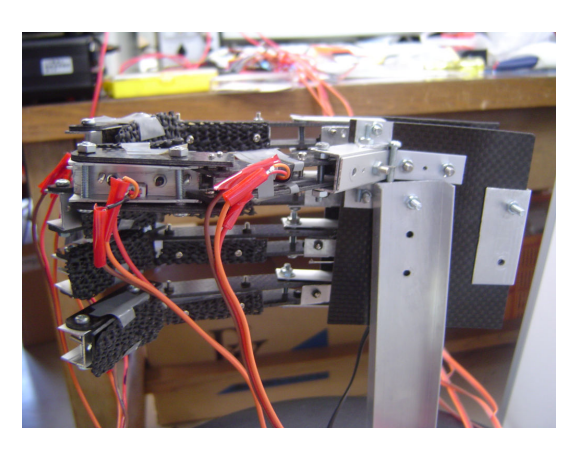


図 26. 親指側からの様子



図 27. 指の根元とモーター駆動部

センサーの装着位置

P1 → 人差し指

P2 → 中指

P3 → 親指 第1間接

P4 → 親指 第2間接

センサーの取り付け位置については、物体を保持するときに親指は重要な役割を果たしている ため、親指に2つのセンサーを装着した。

7. 手先具 3 号機での動作

次に、この手先具 3 号機を用いた動作実験を行った。その方法は今までと同様である。保持させた物体は、ペットボトル(空容器,100g,200g,300g)野球ボール、ペンの3種類である。それぞれについてのデータをまとめたグラフを図 28 に記載する。なお、このプログラムは適正保持時にモーターの動きを停止させるプログラムと同じであるが、この実験では作動させないようにしている。

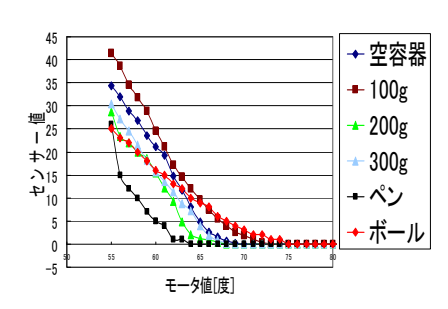


図 28. モーター角度によるセンサー値

図 28より、ペットボトルはどのような重量であっても測定開始位置に違いはあっても似たような傾きとなっていることがわかる。また、野球のボール、ペンもそれぞれ特異な傾きとなっていることが容易に理解できる。本来なら感圧センサーを動作させ、新たな手先具を製作することが目的の研究であったが、このグラフの測定開始位置から保持した物体を表示することを新たな目標としてプログラムを作成した。まずは、当初から予定されていた追加プログラムについて記載する。

付け加えたプログラム

- ①モーター駆動のプログラミングに条件を加えて、動作を制御。
- ②条件を満たさなくなったとき(圧力がかかっ

た時), その時のモーター値を表示。

①について述べると、ある一定以上の圧力がセンサーに感知されたとき、モーターに手先を閉じる命令がされても、プログラムで条件判定をし、それ以上モーターを駆動させないようにするものである。ある一定以上の圧力をセンサー値"10"と設定した。②については、①の動作制御が作動したときのモーター位置を表示するというプログラムである。

<追加したプログラム①>

```
private void sp_ValueChanged(object sender,
                                      EventArgs e)
   if(result[1] < 10)
       if (result[2] < 10)
           if(result[3] < 10)
              if (result[4] < 10)
               sendData = new byte[7];
               sendData[0] = 255;
                sendData[1] =
                          Convert.ToByte(id.Text);
               sendData[2] = 4;
               sendData[3] = 2;
               sendData[4] =
                       Convert.ToByte(sn.Text);
                sendData[5] =
                       Convert.ToByte(sp.Text);
               sendData[6] =
                        Convert.ToByte(ss.Text);
                                  serialPort1.
Write(sendData, 0, 7);
                                   }
                   }
              }
```

※ "sp_ValueChanged" はクリックするごとにモーターを駆動させる命令

<追加したプログラム②>

上記 2 つのプログラムを追加したことによって 適正な物体保持ができるようになった。まだ弱 くもろいものはセンサーが圧力を感知する前に 破損してしまう恐れがあるが、ある程度の成功 を得ることができた。図 29・30 にペンを保持し たときの様子を示す。



図 29. ペン保持の様子 1



図 30. ペン保持の様子 2

では次に, 先ほど述べた, 保持した物体を表示

することについて記載する。これは図 28 から, ペットボトル (空容器), 野球ボール, ペンの 3 つを抜き出して考察していく。

また,手先具3号機を2006年度の6自由度肩義手にとりつけボールの投げ動作を行わせることに成功した。これについては2009年度研究紀要木下・西原他(6自由度肩義手の協調動作制御システム用モーション作成の研究)に記載しているので、そちらを参照されたい。

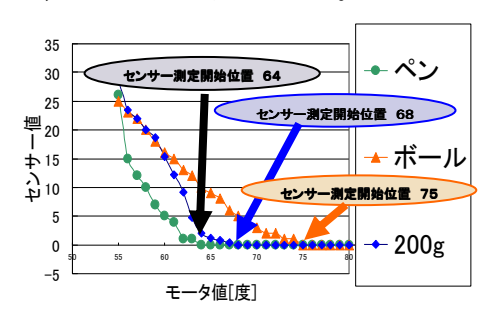


図 31. 図 28 を 3 つのデータのみに したときの特性

モーターはホームポジションを 127 として,角度を 1 度ずつ減らせていきながら指先を閉じていく。このグラフより,ボールはその形状が他の 2 つよりも大きいため,センサー測定開始位置が 75 と,大きい位置になっている。また,ペンは細長いために,測定開始位置が 64 と一番小さくなっている。ペットボトルはその中ほどとなっている。このことから,

- ・ センサー測定開始のモーター位値が75以上ならば保持した物体は「ボール」
- ・ センサー測定開始のモーター位置が 64 以下 ならば保持した物体は「ペン」
- それ以外ならば保持した物体は「ペットボトル」

と仮定してプログラムの追加を行った。

<追加プログラム>

```
gl = Convert. To Byte(sp. Text);
if (result[1] > 0 \&\& gl > 75)
\{
bo. Text = "#-J\nu";
\}
else if (result[3] > 0 \&\& gl > 75)
```

```
bo.Text = "ボール";
}
else if (result[1] == 0)
{
    bo.Text = "ペットボトル";
}
else if (result[3] == 0)
{
    bo.Text = "ペットボトル";
}
else if (result[1] > 0 && gl < 65)
{
    bo.Text = "ペン";
}
else if (result[3] > 0 && gl < 65)
{
    bo.Text = "ペン";
}
```

※ result[1],[3]: 感圧センサーP1, P2 の値。 センサーが感知するのは主に親指と人差し指 であるため。

今回完成したフォームを図32に示す。



図 32. 完成したフォーム

「物体表示」というボタンを押すことによって

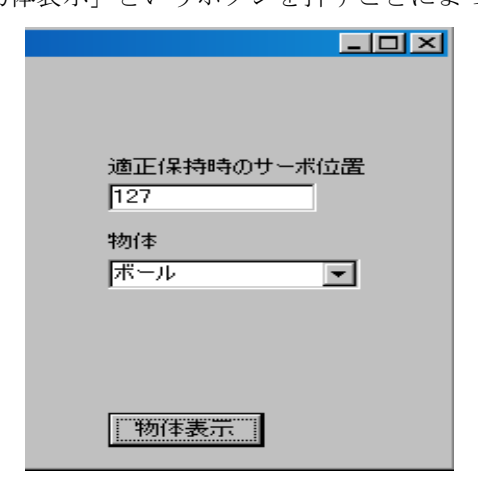


図 33. 物体表示

図33のように保持した物体をわずか3種類だけだが表示することができた。

8. 考察

8.1 プログラムについて

物体にある程度の圧力がかかったときにモーターの動きを制御し、それ以上加圧しないようにすることはできた。しかし、物体が滑り出したときに自動でモーターを動かすプログラムを作成することができなかった。物体が滑り出したときはセンサーで感知する圧力値に変化が生じるはずである。その変化に応じてモーターの角度を動かし、適正保持圧力に動かせるプログラムを作成することが、顔面方位制御方式の自動化を担うはずである。

8.2 手先具について

本研究では計3個の手先具を製作していった。 手先具3号機は人間の手のように5本の指を持 たせることができたが、指自体の自由度は根元 の1自由度のみとなってしまった。菅君の指先 の構造をうまく取り入れ、改良することによっ てより人間の手先に近いものができるはずであ る。また、軽量化のためには1個のモーター指 先を動かすことが最善の方法であることは確か である。よって、ワイヤーを使って5本の指を 動かせるという方法はかなり有用であるが、モーターに負荷がかかり過ぎないようにするエモ が必要である。つまり、より効率的にワイヤー にモーターの動きを伝えるように、ワイヤーチ ューブを使用すること、指先の開閉をうまく行 わせることの2つを実現させる必要がある。

9. 謝辞

最後になりましたが、本研究にあたり、熱心にご指導していただいた電子工学科の全先生方ならびにさまざまな面でお世話、御教授していただいた実習係の方々に深く感謝いたします。

参考文献

1) 木下敏治:形状記憶合金アクチュエータを 用いた上腕義手のマイクロコンピュータシ

- ステム, 詫間電波高専研究紀要第 31号,119-127,(2003)
- 2) 斎藤之男他:人間形ロボットハンドの高機 能化に関する研究,バイオメカニズ ム,155-165,(2002)
- 3) 赤澤堅造:動力義手・装具の研究開発の現 状と将来,BME(医用電子と生体工学), Vol.13, No.2, p.34-41(1999)
- 4) N. Dechev et al: Multiple finger, passive grasp prosthetic hand, Mechanism and Mach ine Theory 36, 1157-1173, (2001)
- M. C. Carrozza et al: The Development of a Novel Prosthetic Hand-Ongoing Research and Preliminary Results, IEEE/ASME Tra nsations on Mechatronics Vol.7, 108-114, (2002)
- 6) Jimenez et al: First Approach of Pneumatic Anthropomorphic Hand, 2001 Proceedings of the 23rd Annual EMBS International Conference, October 25-28, Istanbul, Turkey, 1412-1414, (2001)
- 7) William Craelius: The Bionic Man: Restor ing Mobility, SCIENC Vol 295, 1018-1021 (2002)
- 8) Peter J. Kyberd et al: An Intelligent Anthro pomorphic Hand, with Automatic Grasp, Robotica volume 16, 531-536, (1998)
- 9) Peter Kyberd: The intelligent hand, IEEE REVIEW, 31-35, (2000)
- 10) C. Whiteley et al: Using practice led design research to develop an articulated mechanica l analogy of the human hand, Journal of Med ical Engineering & Technology, Volume 22, Number 5, 226-232, (1998)
- 11) B. Massa et al: Design and Development of an Underactuated Prosthetic Hand, 2002 IEE E International Conference on Robotics & Automation, 3374-3379, (2002)
- 12) Richard F. ff. Weir: Design Issues in the De velopment of an Externally-Powered Partial Hand Prosthesis, BED-Vol. 39, Advances in Bioengineering, 313-314, (1998)
- 13) Richard Colwell et al: The Ut Prosthetic Han d, ASME International Mechanical Engineer ing Congress & Exhibition, 1-3, (1996)
- 14) F. Sebastiani et al: Experimental analysis and performance comparison of three different prosthetic hands designed according to a bio

- mechatronic approach, 2003 IEEE/ASME In ternational Conference on Advanced Intellig ent Mechatronics, 64-69, (2003)
- 15) A. Z. Escudero et al: Inverse Kinematics for a Parallel Myoelectric Elbow, 23rd Annual EMBS International Conference, 1427-1430, (2001)
- 16) Kevin Englehart: A Robust, Real-Time Cont rol Scheme for Multifunction Myoelectric C ontrol, IEEE Transactions on Biomedical Engineering VOL50 NO.7, 848-854, (2003)
- 17) Patrizia Scherillo et al : Parallel Force/Posi tion Control of a Novel Biomechatronic Han d Prosthesis, IEEE/ASME International Con ference on Advanced Intelligent Mechatro nics, 920-925, (2003)
- 18) Yiorgos A. Bertos et al: Microprocessor Bas ed E.P.P Position Controller For Electric-Po wered Upper-Limb Prostheses, 19th International Conference IEEE/EMBS Oct. 30 Nov.2, 2311-23 14, (1997)
- 19) Chih-Lung Lin et al : A Speech Controlled Artificial Limb Based on DSP Chip, 20th Annual International Conference of the IEE E Engineering in Medicine and Biology Soci ety Vol.20 No5, 2704-2705, (1998)
- 20) Han-Pang Huang et al: DSP-Based Cont roller for a Multi-Degree Prosthetic Hand, 2000 IEEE International Conference on Ro botics and Automation, 1378-1383, (2000)
- 21) 木下敏治他: 形状記憶合金ロボット(肩義手 自在2号)の顔面方位制御システムに関する 基礎的研究,日本産業用ロボット工業会,No. 85,70-76,(1992)
- 22) 久本将貴:6自由度肩義手の顔面方位制御システムの開発,平成 20 年度中国四国地区高等専門学校 専攻科生研究交流会要旨集,95-96,(2008)
- 23) 菅 直人: バイオメタルを用いたロボット フィンガの開発,2005 年度卒業論文,(2005)
- 24) 木下敏治他: RC サーボコントローラー AGB65-RSCを用いた6自由度肩義手の協調 動作制御システムの開発,詫間電波高専研究 紀要第36号,47-55,(2008)
- 25) 有限会社ガリバー【著】: Visual C# 2005 基礎 300 の技、技術評論社、(2007)